

# 流感 监测周报

44 / 2025 年

2025年第44周 总第 881 期

( 2025年10月27日- 2025年11月2日 )



中国疾病预防控制中心  
病毒病预防控制所



## 目 录

### CONTENTS

- |    |                   |
|----|-------------------|
| 01 | 摘要                |
| 03 | 一、流感样病例报告         |
| 05 | 二、病原学监测           |
| 08 | 三、暴发疫情            |
| 10 | 四、人感染动物源性流感病毒疫情   |
| 11 | 五、动物禽流感疫情         |
| 13 | 六、其他国家 / 地区流感监测情况 |





## 中国流感流行情况概要（截至 2025 年 11 月 2 日）

- 监测数据显示，本周南方省份流感活动上升，北方大部分省份上升。全国共报告 347 起流感样病例暴发疫情。
- 国家流感中心对 2025 年 3 月 31 日 – 2025 年 11 月 2 日（以实验日期统计）期间收检的部分流感病毒毒株进行抗原性分析，结果显示：在 A(H1N1)pdm09 亚型流感病毒毒株中有 98.0% (1054/1076) 为 A/Victoria/4897/2022 的类似株；在 A(H3N2) 亚型流感病毒毒株中有 58.3% (261/448) 为 A/Croatia/10136RV/2023 (鸡胚株) 的类似株，93.8% (420/448) 为 A/District of Columbia/27/2023 (细胞株) 的类似株；在 B(Victoria) 系流感病毒毒株中有 98.2% (215/219) 为 B/Austria/1359417/2021 的类似株。
- 国家流感中心对 2025 年 3 月 31 日以来收检的部分流感病毒毒株进行耐药性分析，结果显示：在 A(H1N1)pdm09 亚型流感病毒毒株中有 4.2% (30/716) 对神经氨酸酶抑制剂敏感性降低或高度降低，其余 A(H1N1)pdm09 亚型流感病毒毒株均对神经氨酸酶抑制剂敏感；所有 A(H3N2) 亚型和 B 型流感病毒毒株均对神经氨酸酶抑制剂敏感；所有 A(H1N1)pdm09、A(H3N2) 亚型和 B 型流感病毒毒株均对聚合酶抑制剂敏感。

## 摘要

### 一、流感样病例报告

2025 年第 44 周（2025 年 10 月 27 日 – 2025 年 11 月 2 日），南方省份哨点医院报告的 ILI% 为 4.6%，高于前一周水平（4.1%），高于 2022 年和 2024 年同期水平（3.1% 和 3.3%），低于 2023 年同期水平（5.9%）。

2025 年第 44 周，北方省份哨点医院报告的 ILI% 为 5.1%，高于前一周水平（3.7%），高于 2022 年，2023 年和 2024 年同期水平（2.5%，4.4% 和 3.5%）。

### 二、病原学监测

2025 年第 44 周，全国（未含港澳台地区，下同）流感监测网络实验室共检测流感样病例监测标本 20321 份。南方省份检测到 1725 份流感病毒阳性标本，其中 30 份为 A(H1N1)pdm09，1635 份为 A(H3N2)，60 份为 B(Victoria)。北方省份检测到 1485 份流感病毒阳性标本，其中 7 份为 A(H1N1)pdm09，1469 份为 A(H3N2)，9 份为 B(Victoria)。南、北方省份检测到的流感各型别及亚型的数量和所占比例具体见表 1。

表 1 流感样病例监测实验室检测结果

	第 44 周		
	南方省份	北方省份	合计
检测数	10480	9841	20321
阳性数(%)	1725(16.5%)	1485(15.1%)	3210(15.8%)
A 型	1665(96.5%)	1476(99.4%)	3141(97.9%)
A(H1N1)pdm09	30(1.8%)	7(0.5%)	37(1.2%)
A(H3N2)	1635(98.2%)	1469(99.5%)	3104(98.8%)
A(unsubtyped)	0	0	0
B 型	60(3.5%)	9(0.6%)	69(2.1%)
B 未分系	0	0	0
Victoria	60(100.0%)	9(100.0%)	69(100.0%)
Yamagata	0	0	0

2025 年第 44 周，国家流感中心对 33 株 A(H1N1)pdm09 亚型流感毒株进行抗原性分析，其中 28 株 (84.8%) 为 A/Victoria/4897/2022 的类似株，5 株 (15.2%) 为 A/Victoria/4897/2022 的低反应株；对 113 株 A(H3N2) 亚型流感毒株进行抗原性分析，其中 71 株 (62.8%) 为 A/Croatia/10136RV/2023 (鸡胚株) 的类似株，42 株 (37.2%) 为 A/Croatia/10136RV/2023 (鸡胚株) 的低反应株；其中 113 株 (100.0%) 均为 A/District of Columbia/27/2023 (细胞株) 的类似株。

2025 年第 44 周，国家流感中心对 84 株 A(H3N2) 亚型流感毒株进行神经氨酸酶抑制剂耐药性分析，均对神经氨酸酶抑制剂敏感。

### 三、暴发疫情

2025 年第 44 周，全国共报告 347 起流感样病例暴发疫情。经检测，245 起为 A(H3N2)，3 起为 A(H1N1)pdm09，5 起为 A 型 (亚型未显示)，8 起为混合型，13 起为流感阴性，73 起暂未获得病原检测结果。



# 流感样病例报告

## （一）南方省份流感样病例占门急诊病例总数百分比。

2025 年第 44 周(2025 年 10 月 27 日 – 2025 年 11 月 2 日), 南方省份哨点医院报告的 ILI% 为 4.6%, 高于前一周水平 (4.1%) , 高于 2022 年和 2024 年同期水平 (3.1% 和 3.3%) , 低于 2023 年同期水平 (5.9%) 。 (图 1)

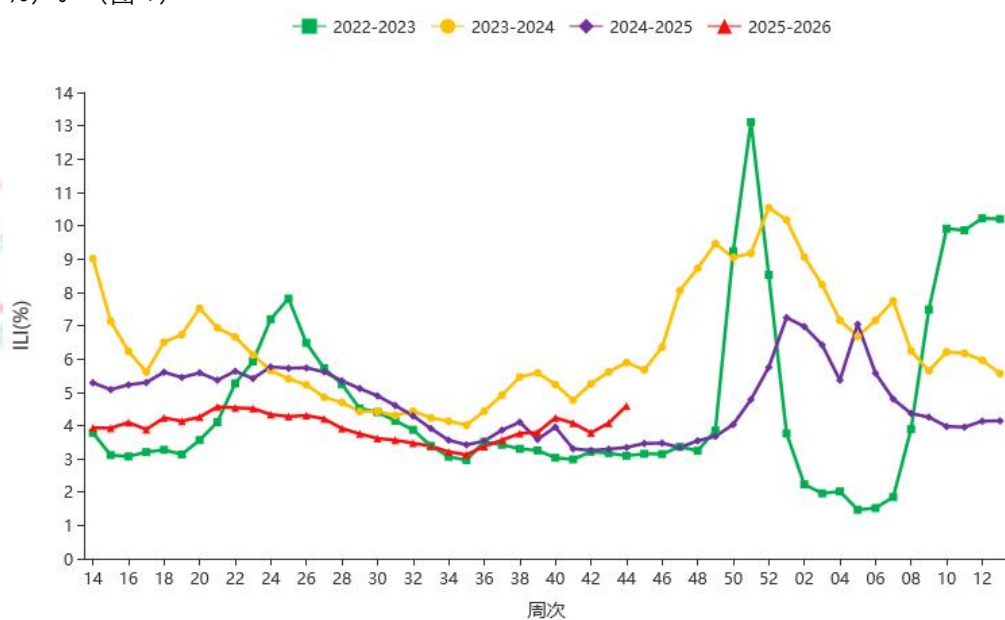


图 1 2022 – 2026 年度南方省份哨点医院报告的流感样病例%

注：数据来源于国家级哨点医院。

## （二）北方省份流感样病例占门急诊病例总数百分比。

2025 年第 44 周, 北方省份哨点医院报告的 ILI% 为 5.1%, 高于前一周水平 (3.7%) , 高于 2022 年, 2023 年和 2024 年同期水平 (2.5%, 4.4% 和 3.5%) 。 (图 2)

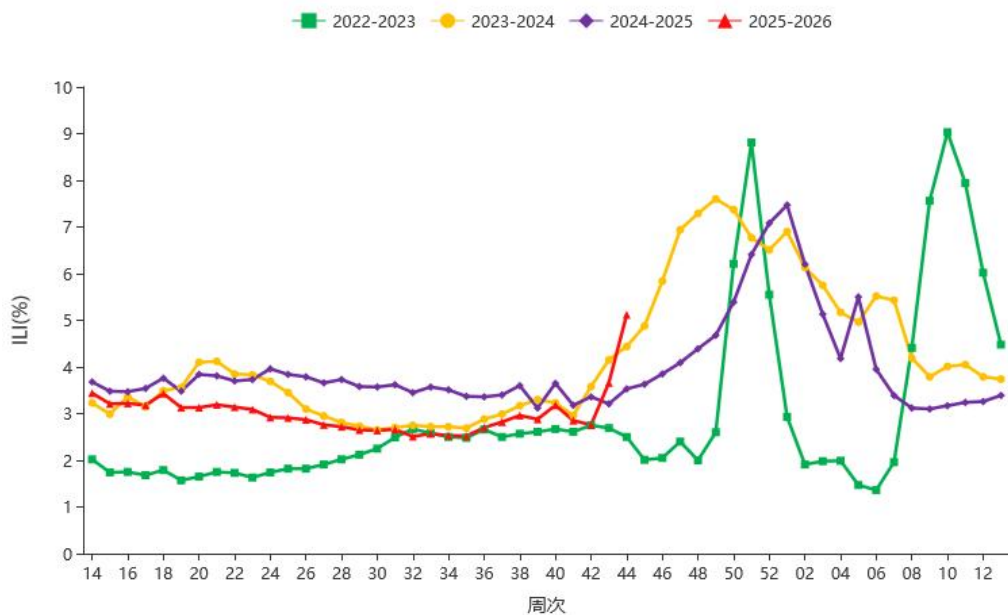


图 2 2022 – 2026 年度北方省份哨点医院报告的流感样病例%

注：数据来源于国家级哨点医院。





# 病原学监测

## (一) 流感样病例监测

### 1. 南方省份。

2025 年第 44 周，南方省份检测到 1725 份流感病毒阳性标本，其中 30 份为 A(H1N1)pdm09, 1635 份为 A(H3N2)，60 份为 B(Victoria)。各型别具体数据见表 1 和图 3。

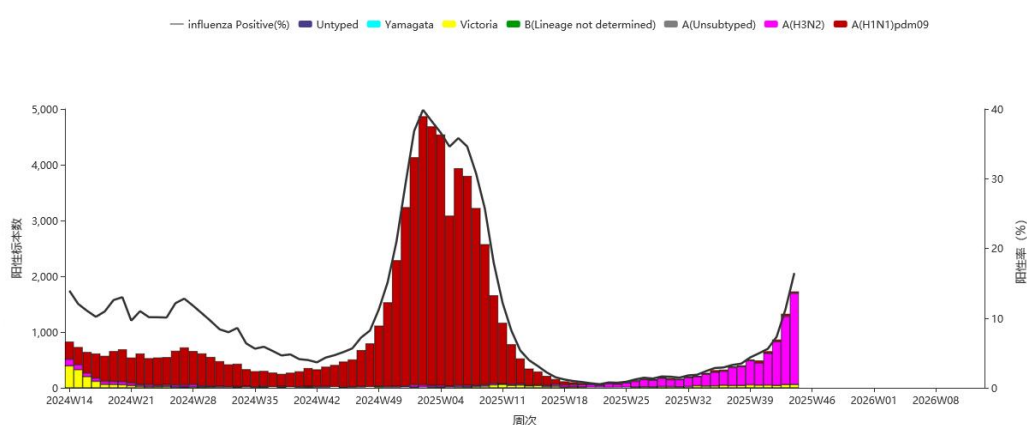


图 3 南方省份 ILI 标本检测结果

注：数据来源于网络实验室检测结果，网络实验室结果和 CNIC 结果不一致的以 CNIC 复核结果为准。

### 2. 北方省份。

2025 年第 44 周，北方省份检测到 1485 份流感病毒阳性标本，其中 7 份为 A(H1N1)pdm09, 1469 份为 A(H3N2)，9 份为 B(Victoria)。各型别具体数据见表 1 和图 4。

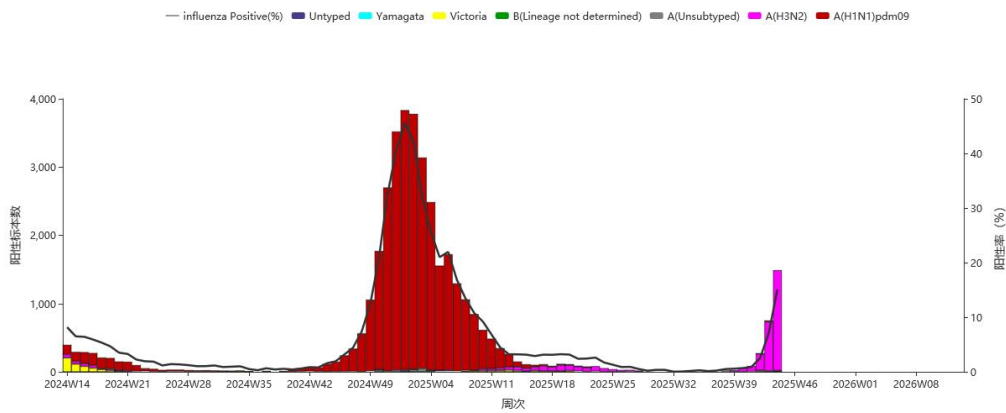


图 4 北方省份 ILI 标本检测结果

注：数据来源于网络实验室检测结果，网络实验室结果和 CNIC 结果不一致的以 CNIC 复核结果为准。

## (二) ILI 暴发疫情实验室检测结果

### 1. 南方省份。

2025 年第 44 周，南方省份网络实验室共收检到 973 份流感样病例暴发疫情标本，其中 27 份为 A(H1N1)pdm09，946 份为 A(H3N2)。(图 5)

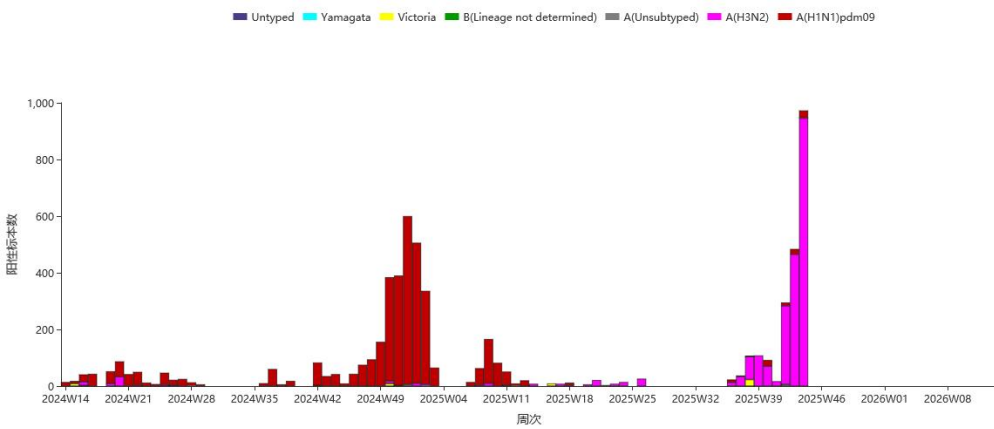


图 5 南方省份 ILI 暴发疫情标本检测结果

注：数据来源于网络实验室检测结果，网络实验室结果和 CNIC 结果不一致的以 CNIC 复核结果为准。

### 2. 北方省份。

2025 年第 44 周，北方省份网络实验室共收检到 656 流感样病例暴发疫情标本，均为 A(H3N2)。(图 6)



■ Untyped ■ Yamagata ■ Victoria ■ B(Lineage not determined) ■ A(Unsubtyped) ■ A(H3N2) ■ A(H1N1)pdm09

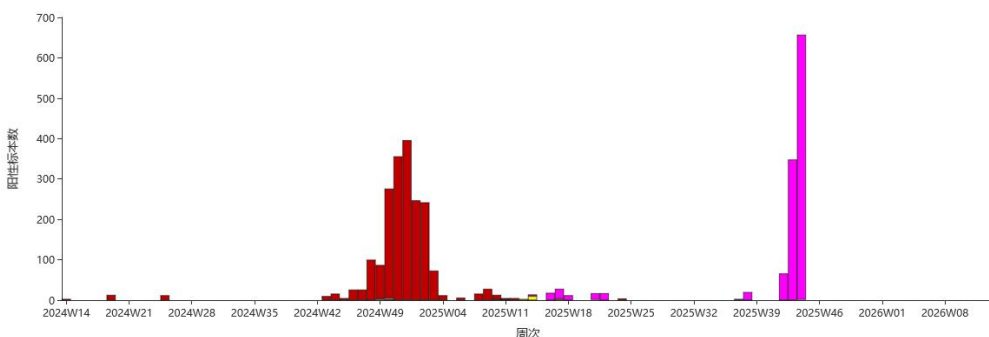


图 6 北方省份 ILI 暴发疫情标本检测结果

注：数据来源于网络实验室检测结果，网络实验室结果和 CNIC 结果不一致的以 CNIC 复核结果为准。

### (三) 抗原性分析

2025 年第 44 周，国家流感中心对 33 株 A(H1N1)pdm09 亚型流感毒株进行抗原性分析，其中 28 株 (84.8%) 为 A/Victoria/4897/2022 的类似株，5 株 (15.2%) 为 A/Victoria/4897/2022 的低反应株；对 113 株 A(H3N2) 亚型流感毒株进行抗原性分析，其中 71 株 (62.8%) 为 A/Croatia/10136RV/2023 (鸡胚株) 的类似株，42 株 (37.2%) 为 A/Croatia/10136RV/2023 (鸡胚株) 的低反应株；其中 113 株 (100.0%) 均为 A/District of Columbia/27/2023 (细胞株) 的类似株。

2025 年 3 月 31 日 – 2025 年 11 月 2 日（以实验日期统计），CNIC 对 1076 株 A(H1N1)pdm09 亚型流感毒株进行抗原性分析，其中 1054 株 (98.0%) 为 A/Victoria/4897/2022 的类似株，22 株 (2.0%) 为 A/Victoria/4897/2022 的低反应株。对 448 株 A(H3N2) 亚型流感毒株进行抗原性分析，其中 261 株 (58.3%) 为 A/Croatia/10136RV/2023 (鸡胚株) 的类似株，187 株 (41.7%) 为 A/Croatia/10136RV/2023 (鸡胚株) 的低反应株；其中 420 株 (93.8%) 为 A/District of Columbia/27/2023 (细胞株) 的类似株，28 株 (6.2%) 为 A/District of Columbia/27/2023 (细胞株) 的低反应株。对 219 株 B(Victoria) 系流感毒株进行抗原性分析，其中 215 株 (98.2%) 为 B/Austria/1359417/2021 的类似株，4 株 (1.8%) 为 B/Austria/1359417/2021 的低反应株。

### (四) 耐药性分析

2025 年第 44 周，国家流感中心对 84 株 A(H3N2) 亚型流感毒株进行神经氨酸酶抑制剂耐药性分析，均对神经氨酸酶抑制剂敏感。

2025 年 3 月 31 日 – 2025 年 11 月 2 日，CNIC 耐药监测数据显示，除 30 株 A(H1N1)pdm09 亚型流感毒株对神经氨酸酶抑制剂敏感性降低或高度降低外，其余 A(H1N1)pdm09 亚型流感毒株均对神经氨酸酶抑制剂敏感；所有 A(H3N2) 亚型和 B 型流感毒株均对神经氨酸酶抑制剂敏感。所有 A(H1N1)pdm09、A(H3N2) 亚型和 B 型流感毒株均对聚合酶抑制剂敏感。

# 暴发疫情

流感样病例暴发疫情定义：一周内，同一地区或单位内出现 10 例及以上流感样病例，经县（区）级疾病预防控制机构核实确认，并通过“中国流感监测信息系统”报告的疫情事件定义为 1 起流感样病例暴发疫情。

## （一）本周新增报告的暴发疫情概况。

2025 年第 44 周，全国共报告 347 起流感样病例暴发疫情。经检测，245 起为 A(H3N2)，3 起为 A(H1N1)pdm09，5 起为 A 型（亚型未显示），8 起为混合型，13 起为流感阴性，73 起暂未获得病原检测结果。

## （二）暴发疫情概况。

2025 年第 14-44 周（2025 年 3 月 31 日-2025 年 11 月 2 日），全国报告流感样病例暴发疫情（10 例及以上）618 起，经实验室检测，464 起为 A(H3N2)，11 起为 A(H1N1)pdm09，9 起为 A 型（亚型未显示），4 起为 B(Victoria)，17 起为混合型，27 起为流感阴性，86 起暂未获得病原检测结果。

### 1. 时间分布。

2025 年第 14-44 周，南方省份共报告 350 起 ILI 暴发疫情，高于 2024 年同期报告疫情起数（120 起）。（图 7）

2025 年第 14-44 周，北方省份共报告 268 起 ILI 暴发疫情，高于 2024 年同期报告疫情起数（24 起）。（图 8）

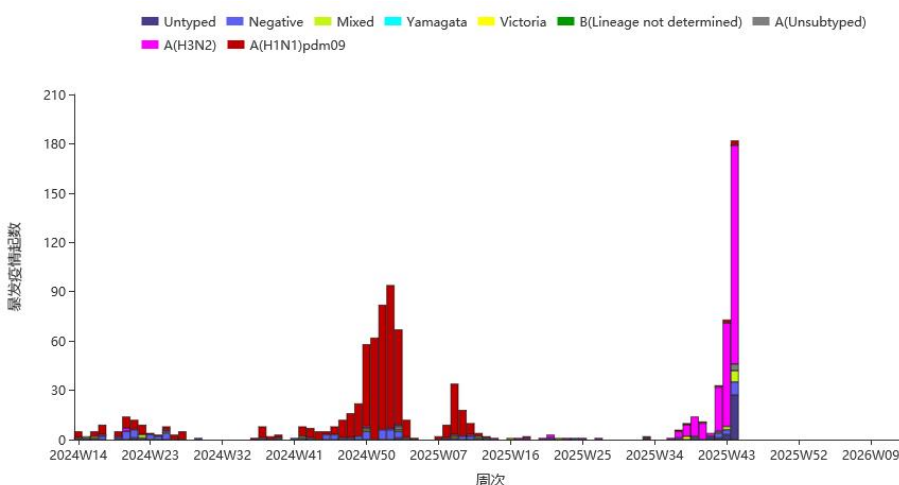


图 7 南方省份报告 ILI 暴发疫情周分布  
(按疫情报告时间统计)

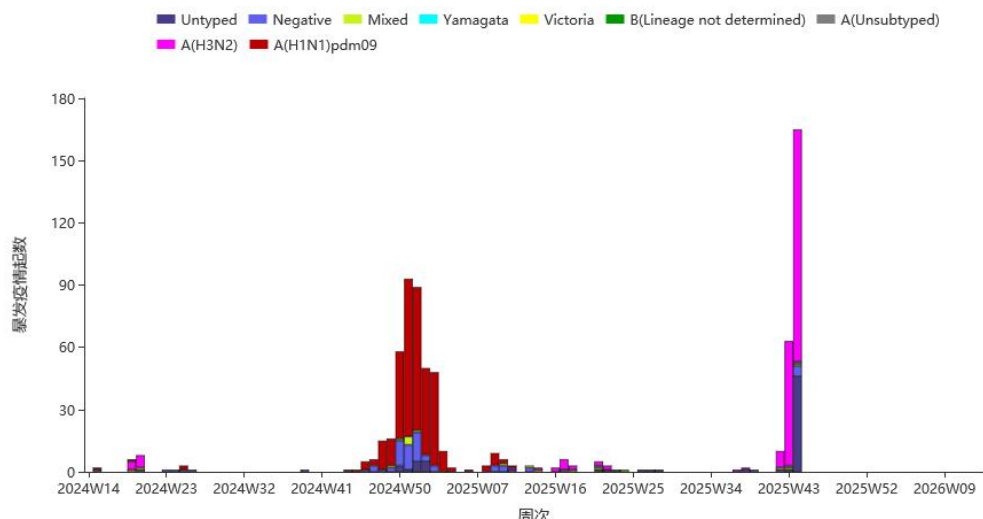


图 8 北方省份报告 ILI 暴发疫情周分布  
(按疫情报告时间统计)

## 2. 地区分布。

2025 年第 14-44 周，全国共报告 ILI 暴发疫情 618 起，分布在 7 个地区（表 2）。

表 2 2025 年第 14-44 周各地区报告暴发疫情起数

地区	暴发疫情起数(起)	地区	暴发疫情起数(起)
西南地区	238	东北地区	54
西北地区	106	华南地区	50
华东地区	83	华中地区	30
华北地区	57		

注：暴发疫情报告受各地监测能力及监测敏感度等因素影响。各地区省市如下：

东北地区：黑龙江，吉林，辽宁；

华北地区：北京，河北，内蒙古，山西，天津；

华东地区：安徽，福建，江苏，江西，山东，上海，浙江；

华南地区：广东，广西，海南；

华中地区：河南，湖北，湖南；

西北地区：甘肃，建设兵团，宁夏，青海，陕西，新疆；

西南地区：贵州，四川，西藏，云南，重庆。

# 人感染动物源性流感病毒疫情

本周，WHO 未通报人感染动物源性流感病毒疫情。

(译自：<https://www.who.int/teams/global-influenza-programme/avian-influenza/monthly-risk-assessment-summary> )





# 动物禽流感疫情

2025 年 10 月 26 日-11 月 1 日，世界动物卫生组织共通报 44 起高致病性禽流感能动物疫情事件。

表 3 全球动物感染高致病性禽流感疫情事件

国家/地区	禽流感亚型			
	H5N1	H5N5	H5(N 待报)	合计
奥地利	1			1
比利时	2		1	3
加拿大	2			2
丹麦	1			1
芬兰	1			1
法国	1			1
德国	4			4
匈牙利	1			1
以色列	1			1
意大利	1			1
日本	1			1
韩国	1			1
拉脱维亚	1			1
立陶宛	1			1
荷兰	1			1
挪威			1	1
波兰	5			5

葡萄牙	1			1
斯洛文尼亚	1			1
瑞典	2			2
西班牙	1			1
英国	8	1		9
美国	3			3
合计	41	1	2	44



图 9 全球报告动物感染高致病性禽流感疫情空间分布

(译自: <https://wahis.woah.org/#/home>)



# 其他国家/地区 流感监测情况

## 全球（第 42 周，数据截至 2025 年 10 月 19 日）

### 流感监测

全球范围内，流感活动仍低，A 型继续占优。南北半球和各传播区域表现出不同的模式。

北半球温带地区，流感活动水平低且稳定。中美洲和加勒比地区、北非、北欧有所升高，其中西非和中非、西亚、南亚和东南亚地区的流感阳性率超过 30%。西非和东非、西亚、南亚和东南亚的部分国家流感活动较前一周有所增加。

南半球，大部分国家报告流感活动低且稳定，仅温带南美洲、东非的个别国家报告流感阳性率升高（>10%），东南亚的一个国家流感阳性率超过 30%。目前南半球未观察到流感活动呈上升趋势。

在流感阳性率较高的传播区域，A(H1N1)pdm09 在北非和中非居多，A(H3N2)在东非、西亚、南亚和东南亚、温带南美洲为主导，西非和北欧报告 A(H1N1)pdm09 和 A(H3N2)共同流行。

### 新冠病毒 (SARS-CoV-2) 监测

全球范围内，新冠阳性率仍呈低水平，但略有上升，北美、中美洲和加勒比地区、热带南美洲、西南欧洲和东欧、西亚和东亚的一些国家监测到新冠阳性率超过 10%，欧洲西南部 1 个国家阳性率超过 30%。东非和西南欧洲的个别国家报告小幅增长。

### 呼吸道合胞病毒 (RSV) 监测

在一些西非和东非部分国家仍处于较高水平，其中中美洲和加勒比地区有 2 个国家呼吸道合胞病毒 (RSV) 阳性率超过 30%。多数国家 RSV 阳性率保持稳定，仅中美洲和加勒比地区的两个国家报告小幅上升。

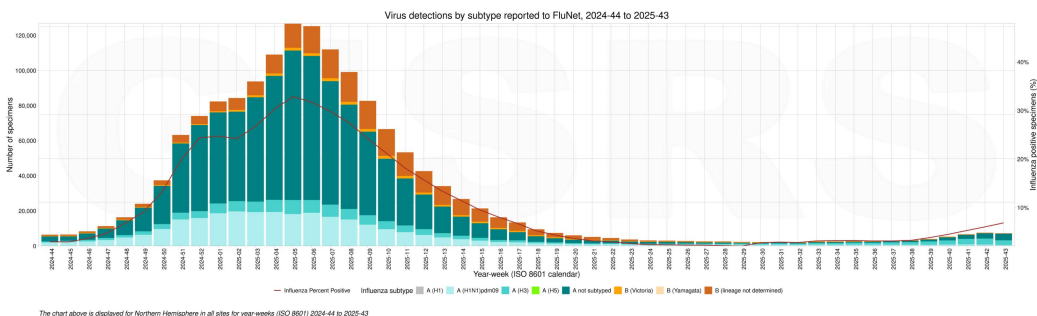


图 10 北半球流感病毒流行情况

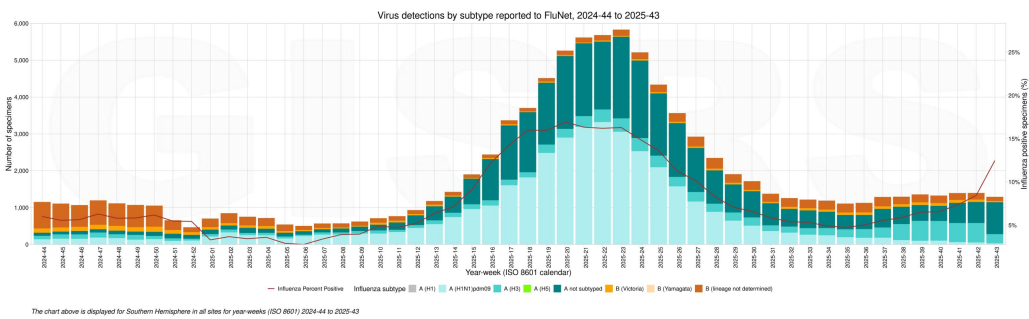


图 11 南半球流感病毒流行情况

(译自：  
<https://www.who.int/teams/global-influenza-programme/surveillance-and-monitoring/influenza-updates/current-influenza-update>)





## 美国（第 38 周，数据截至 2025 年 9 月 20 日。暂未更新。）

第 38 周，美国全境季节性流感活动水平低。

本周通过 ILINet 报告的就诊患者中有 1.7% 为流感样病例患者（即由于呼吸道疾病引起的，包括发烧伴咳嗽或咽痛，也称为 ILI）。诸多呼吸道病毒共同流行，流感病毒感染对 ILI 的影响可能因地点而异。

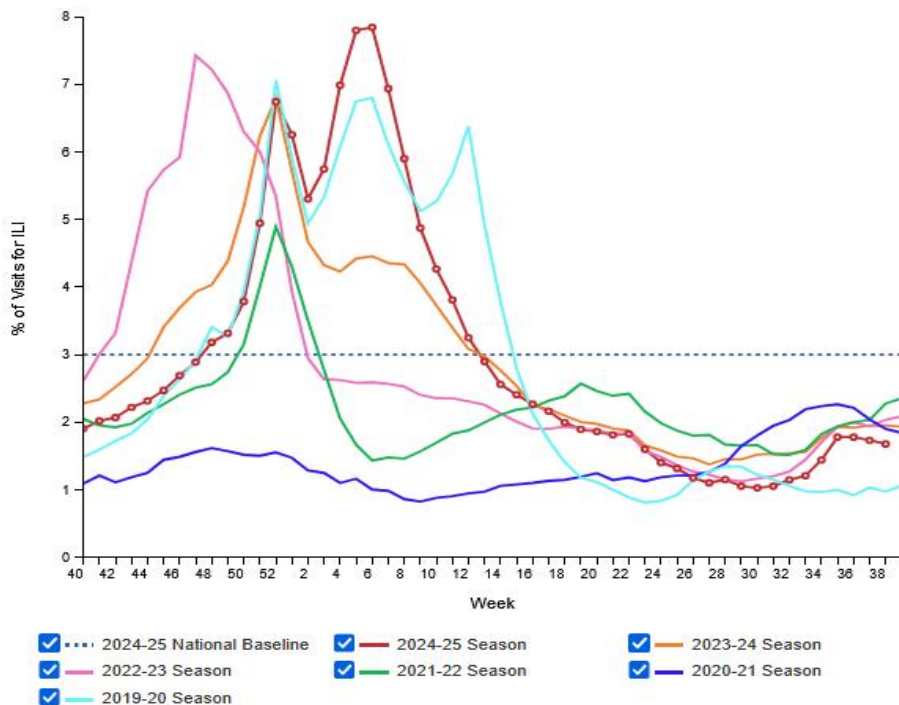


图 12 美国 ILI 监测周分布

本周临床实验室共检测样本 45194 份，检出 160 份 (0.4%) 流感病毒阳性：其中 A 型 140 份 (87.5%)，B 型 20 份 (12.5%)。

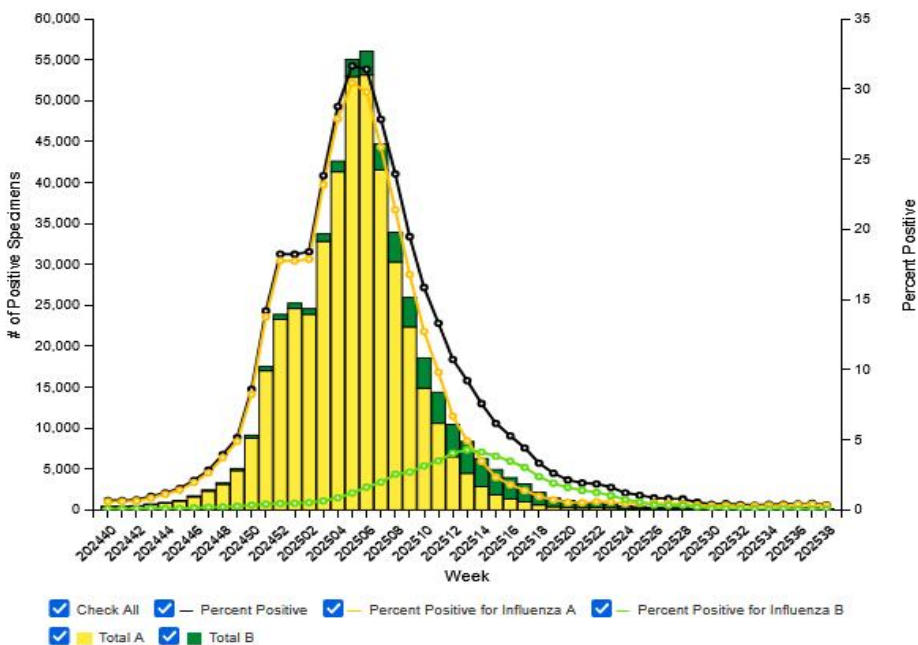


图 13 美国临床实验室流感病原监测周分布

本周美国公共卫生实验室共检测样本 371 份，检出 27 份流感阳性样本，其中 25 份 (92.6%) 为 A 型，2 份 (7.4%) 为 B 型。在 15 份 (60.0%) 已分型的 A 型样本中，6 份 (40.0%) 为 A(H1N1)pdm09 亚型，9 份 (60.0%) 为 A(H3N2) 亚型，10 份 (40.0%) 为 A 型 (分型未显示)。2 份 B 型未分系。

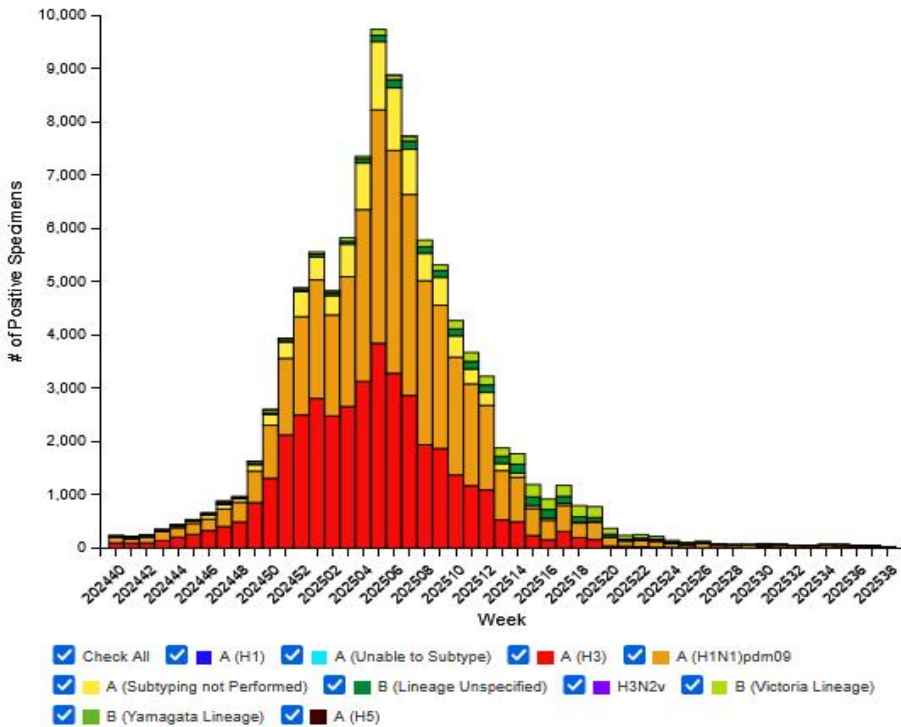


图 14 美国公共卫生实验室流感病原监测周分布

本周报告死于流感的死亡人数占全部死亡人数的 0.03%。所提供的数据是初步的，可能会随着接收和处理更多数据而发生变化。

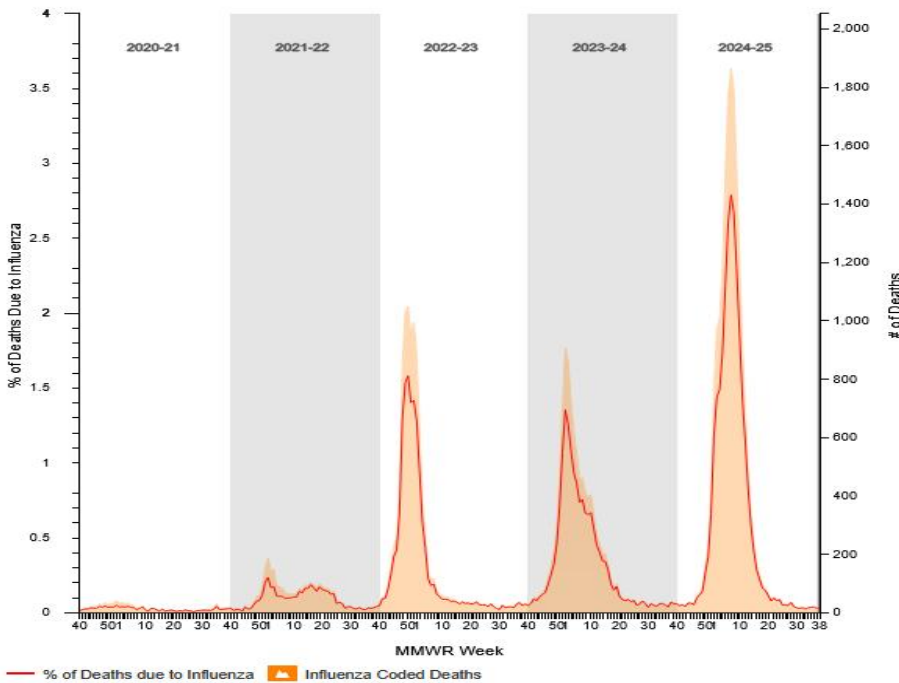


图 15 美国流感死亡监测

(译自：<https://www.cdc.gov/fluview/index.html> )



## 中国香港（第 43 周，2025 年 10 月 19-25 日）

香港正处于夏季流感季节。最新监测数据显示，本地香港流感活跃程度维持在高水平。  
本周香港定点普通科诊所呈报的 ILI 平均比例是 18.6%，高于上周的 17.9%。

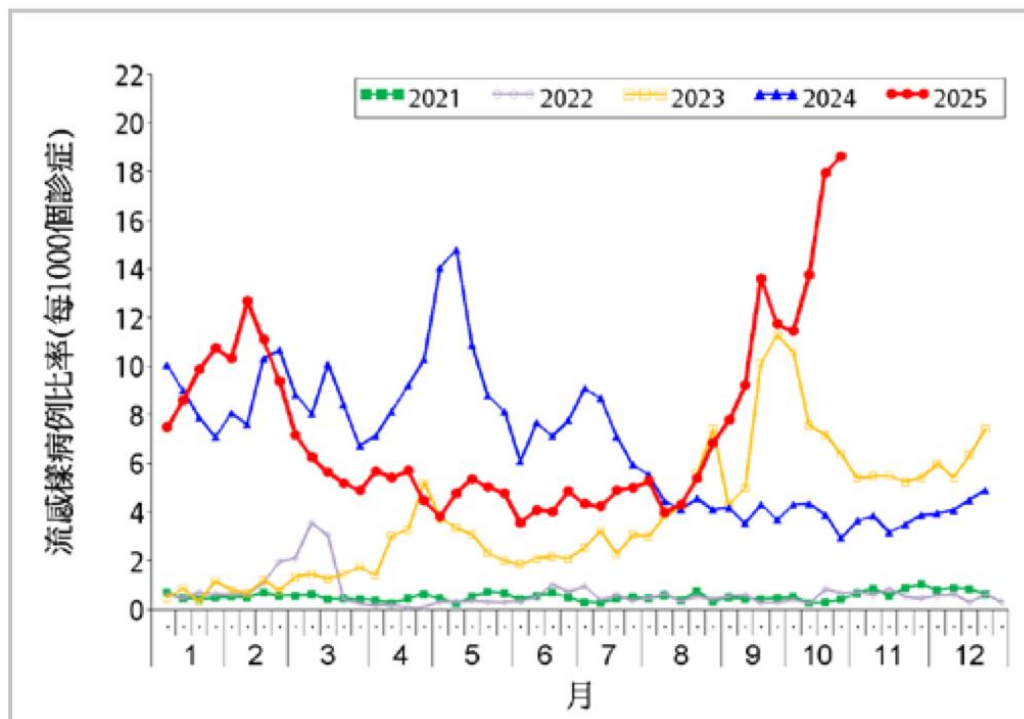


图 16 香港定点普通科诊所 ILI 监测周分布

本周香港定点私家医生所报告的 ILI 平均比例为 46.9%，低于上周的 55.1%。

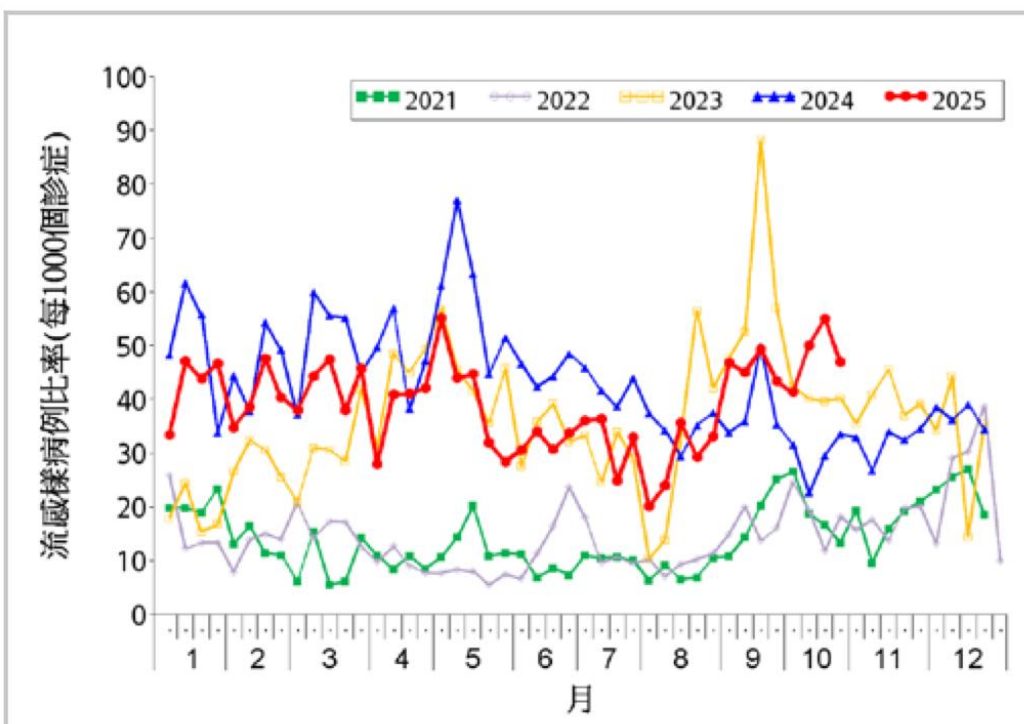


图 17 香港定点私家医生 ILI 监测周分布

本周收集到 8784 份呼吸道样本，检出 1055 份（12.01%）流感阳性样本，已分型的流感阳性样本包括 113 份（11%）A(H1N1)pdm09、903 份（87%）A(H3N2) 和 26 份（2%）B 型流感。流感病毒阳性率为 12.01%，高于 4.94% 的基线水平，高于前一周的 11.84%。

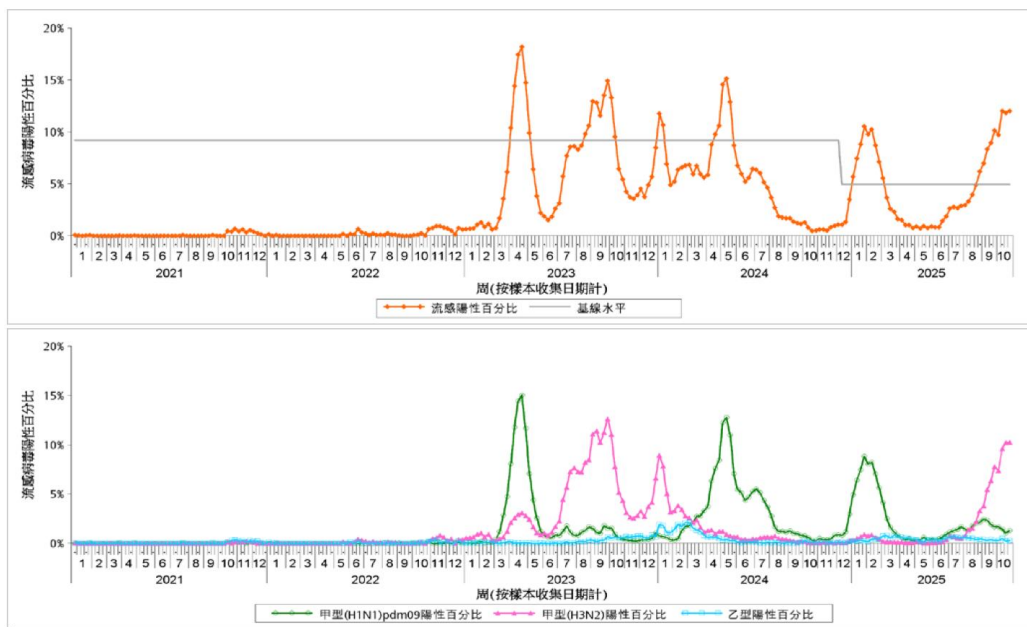


图 18 香港流感病原监测周分布（上图为整体阳性率；下图为流感病毒分型阳性率）

本周有 152 起在学校/院舍发生的流感样疾病暴发的报告（共影响 1403 人），对比上周 182 起流感样疾病暴发的报告（共影响 2153 人）。第 45 周的前四天收到 60 起在学校/院舍发生的流感样疾病暴发的报告（共影响 342 人）。

整体公立医院主要诊断为流感的入院率为 0.64（该年龄组别每 1 万人口计），对比前一周的 0.87，高于 0.27 的基线水平。0-5 岁、6-11 岁、12-17 岁、18-49 岁、50-64 岁和 65 岁及以上人士在公立医院主要诊断为流感的入院率分别为 3.11、3.20、1.77、0.14、0.15 和 0.96 例（该年龄组别每 1 万人口计），对比前一周的 4.12、4.39、2.20、0.16、0.19 和 1.47 例。

（摘自：<https://www.chp.gov.hk/tc/resources/29/100148.html>）



## 中国台湾（第 42 周，2025 年 10 月 12-18 日）

流感疫情处于流行期，门急诊就诊人次及百分比较前一周下降，尚需观察疫情变化；重症通报数处高点，须留意重症病例发生风险； 社区流感病毒以 A(H3N2)为主。

近四周实验室监测显示，社区呼吸道病原体以流感病毒居多。流感病毒以 A(H3N2)为主，其占比呈上升趋势，其次为 A(H1N1)pdm09。

本流感季（自 2025 年 10 月 1 日起）累计 119 例流感并发重症病例，其中 6 例死亡。

实验室传染病自动通报系统报告，流感病毒阳性检出数较前一周升高，近期呈明显上升；近 4 周检出流感病毒 A 型占 98%，B 型占 2%。

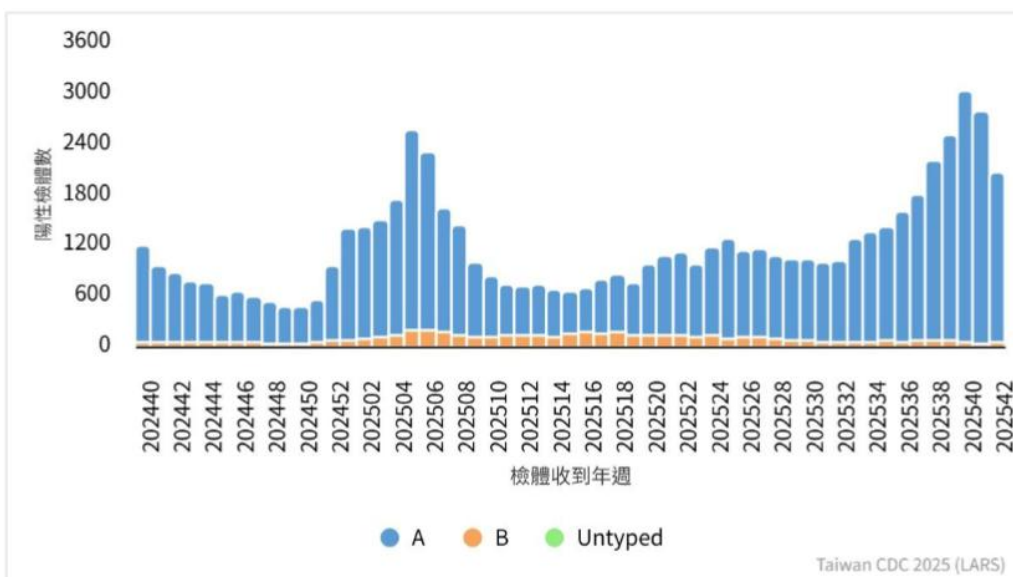


图 19 台湾省流感阳性数趋势

门诊、急诊流感样病例百分比分别为 2.0% 和 11.7%，处于流感流行期；门急诊流感就诊人次为 128915 人次，较前一周下降。

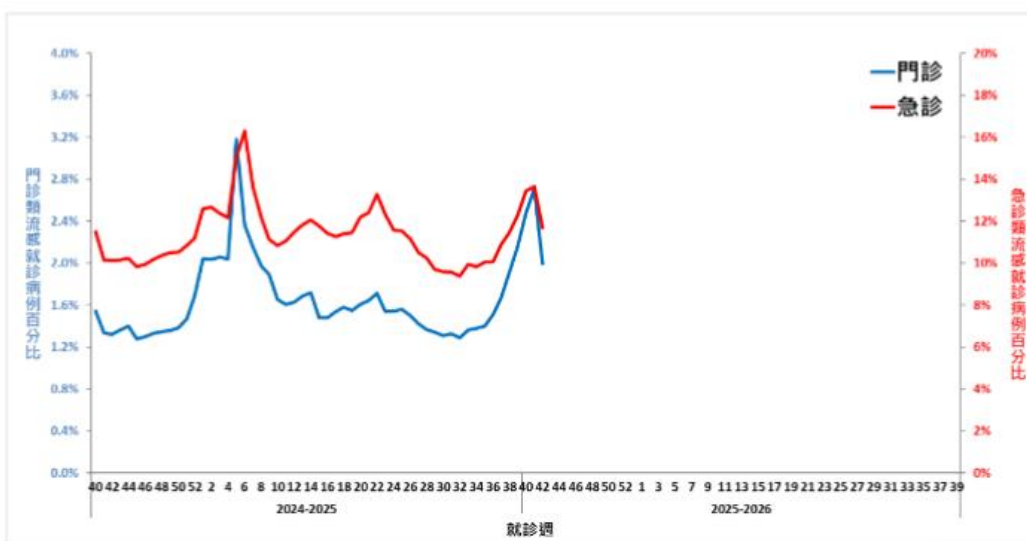


图 20 台湾省门诊及急诊流感样病例百分比



## 中国疾病预防控制中心病毒病预防控制所编制

地址：北京市昌平区昌百路 155 号病毒病所  
邮编：102206  
电话：010 — 58900863  
传真：010 — 58900863  
电子邮箱：fluchina@ivdc.chinacdc.cn  
编辑：中国疾病预防控制中心病毒病预防控制所国家流感中心  
编发日期：2025 年 11 月 5 日

下 载：中国国家流感中心网站 (<http://ivdc.chinacdc.cn/cnic>) 或  
中国流感监测信息系统提供下载。